

**$^{96}\text{Ru}(^{40}\text{Ca},3\text{p}\gamma)$**     **1996Ga17**

Type	Author	History	Citation	Literature Cutoff Date
Full Evaluation	Yu. Khazov and A. Rodionov, F. G. Kondev		NDS 112, 855 (2011)	31-Oct-2010

**1996Ga17:**  $^{96}\text{Ru}(^{40}\text{Ca},3\text{p}\gamma)$ , E=176 MeV; measured  $E\gamma$ ,  $I\gamma$ ,  $\gamma\gamma$ ,  $\gamma\gamma(\theta)$  (DSAM); deduced levels,  $J^\pi$ ,  $\delta$ , band structure. Tandem, an  $8\pi$  array of 20 HPGe anti-Compton shielded detectors, spherical shell of 71 BGO, models comparison.  
**1991Re03** (also **1991ReZY**):  $^{96}\text{Ru}(^{40}\text{Ca},3\text{pn})$ , E=180 MeV; measured  $\gamma\gamma$ ,  $n\gamma$ ,  $n\text{n}\gamma$ , (recoil) $\gamma$ -, n(recoil) $\gamma$ -coin.; deduced transitions between six rotational bands. POLYTESSA array, 10 Compton suppressed detectors.  
**2001Ri20** (also **2002La09**):  $^{105}\text{Pd}(^{35}\text{Cl},\alpha 3n\gamma)$ , E=173 MeV; measured  $\gamma$ ,  $\gamma\gamma(\theta)$  (DSAM);  $^{133}\text{Pm}$  deduced Q(intrinsic) of the bands. Cyclotron, GAMMASPHERE spectrometer, MICROBALL detector of charged particles.  
Other: **1987Wa02** ( $T_{1/2}$  measurements by RDM).

 **$^{133}\text{Pm}$  Levels**

E(level) <sup>†</sup>	$J^\pi$ <sup>‡</sup>	$T_{1/2}$	Comments
0.0 <sup>#</sup>	$3/2^+$		This state may not necessarily be the g.s., since the experiment is not sensitive to isomeric decay.
84.48 <sup>@</sup> 23	$5/2^+$		
129.7 <sup>&amp;</sup> 7	$11/2^-$		
147.9 <sup>a</sup> 8	$9/2^-$		
214.2 <sup>#</sup> 3	$7/2^+$		
371.9 3	$(7/2^+)$		
381.9 <sup>@</sup> 3	$9/2^+$		
382.1 <sup>&amp;</sup> 7	$15/2^-$	50 ps 4	$T_{1/2}$ : from <b>1987Wa02</b> .
410.4 <sup>a</sup> 7	$13/2^-$		
571.6 <sup>#</sup> 3	$11/2^+$		
653.4 <sup>c</sup> 3	$9/2^+$		
802.5 <sup>@</sup> 3	$13/2^+$		
810.1 <sup>b</sup> 4	$11/2^+$		
812.0 <sup>&amp;</sup> 7	$19/2^-$		
815.9 <sup>d</sup> 7	$15/2^-$		
820.3 <sup>a</sup> 7	$17/2^-$		
991.2 <sup>c</sup> 4	$13/2^+$		
1025.3 <sup>#</sup> 3	$15/2^+$		
1196.6 <sup>b</sup> 4	$15/2^+$		
1226.9 <sup>d</sup> 7	$(19/2)^-$		
1294.9 <sup>@</sup> 4	$17/2^+$		
1334.2 <sup>a</sup> 7	$21/2^-$		
1383.4 <sup>&amp;</sup> 7	$23/2^-$		
1425.4 <sup>c</sup> 4	$17/2^+$		
1534.8 <sup>#</sup> 4	$19/2^+$		
1677.4 <sup>b</sup> 4	$19/2^+$		
1758.4 <sup>d</sup> 7	$(23/2)^-$		
1830.6 <sup>@</sup> 4	$21/2^+$		
1927.9 <sup>a</sup> 7	$25/2^-$		
1952.1 <sup>c</sup> 5	$21/2^+$		
2058.9 <sup>&amp;</sup> 7	$27/2^-$		
2081.4 <sup>#</sup> 4	$23/2^+$		
2249.1 <sup>b</sup> 5	$23/2^+$		
2388.9 <sup>d</sup> 7	$(27/2)^-$		

Continued on next page (footnotes at end of table)

**$^{96}\text{Ru}(^{40}\text{Ca},3\text{p}\gamma)$  1996Ga17 (continued)** **$^{133}\text{Pm}$  Levels (continued)**

E(level) <sup>†</sup>	J <sup>‡</sup>	E(level) <sup>†</sup>	J <sup>‡</sup>	E(level) <sup>†</sup>	J <sup>‡</sup>	E(level) <sup>†</sup>	J <sup>‡</sup>
2397.1 <sup>@ 4</sup>	25/2 <sup>+</sup>	3609.1 <sup>&amp; 8</sup>	35/2 <sup>-</sup>	4926.2 <sup>c 7</sup>	37/2 <sup>+</sup>	6796.8 <sup># 10</sup>	47/2 <sup>+</sup>
2567.6 <sup>c 5</sup>	25/2 <sup>+</sup>	3655.3 <sup>b 6</sup>	31/2 <sup>+</sup>	4927.6 <sup># 7</sup>	39/2 <sup>+</sup>	7137.3 <sup>a 19</sup>	49/2 <sup>-</sup>
2598.5 <sup>a 7</sup>	29/2 <sup>-</sup>	3671.8 <sup>@ 5</sup>	33/2 <sup>+</sup>	5096.8 <sup>a 10</sup>	41/2 <sup>-</sup>	7278.6 <sup>@ 14</sup>	49/2 <sup>+</sup>
2674.4 <sup># 4</sup>	27/2 <sup>+</sup>	3911.0 <sup>d 13</sup>	(35/2) <sup>-</sup>	5337.4 <sup>@ 9</sup>	41/2 <sup>+</sup>	7492.1 <sup>&amp; 13</sup>	51/2 <sup>-</sup>
2805.4 <sup>&amp; 7</sup>	31/2 <sup>-</sup>	4059.5 <sup>c 6</sup>	33/2 <sup>+</sup>	5390.0 <sup>b 12</sup>	39/2 <sup>+</sup>	7768.8 <sup># 12</sup>	51/2 <sup>+</sup>
2909.3 <sup>b 5</sup>	27/2 <sup>+</sup>	4089.2 <sup># 5</sup>	35/2 <sup>+</sup>	5409.1 <sup>&amp; 8</sup>	43/2 <sup>-</sup>	8290.5 <sup>@ 17</sup>	53/2 <sup>+</sup>
2991.6 <sup>@ 5</sup>	29/2 <sup>+</sup>	4180.8 <sup>a 8</sup>	37/2 <sup>-</sup>	5838.3 <sup># 9</sup>	43/2 <sup>+</sup>	8646.6 <sup>&amp; 19</sup>	55/2 <sup>-</sup>
3114.9 <sup>d 7</sup>	(31/2) <sup>-</sup>	4457.7 <sup>@ 7</sup>	37/2 <sup>+</sup>	5872.3 <sup>c 12</sup>	41/2 <sup>+</sup>	8767.3 <sup># 14</sup>	55/2 <sup>+</sup>
3271.9 <sup>c 5</sup>	29/2 <sup>+</sup>	4474.8 <sup>&amp; 8</sup>	39/2 <sup>-</sup>	6099.8 <sup>a 14</sup>	45/2 <sup>-</sup>	9361.5 <sup>@ 23</sup>	57/2 <sup>+</sup>
3338.1 <sup># 5</sup>	31/2 <sup>+</sup>	4480.0 <sup>b 6</sup>	35/2 <sup>+</sup>	6290.7 <sup>@ 11</sup>	45/2 <sup>+</sup>	9877.7 <sup>&amp; 25</sup>	59/2 <sup>-</sup>
3348.5 <sup>a 8</sup>	33/2 <sup>-</sup>	4773.0 <sup>d 16</sup>	(39/2) <sup>-</sup>	6414.0 <sup>&amp; 11</sup>	47/2 <sup>-</sup>		

<sup>†</sup> From a least-squares fit to E $\gamma$ .<sup>‡</sup> From 1996Ga17, based on DCO value analysis and systematics.<sup>#</sup> Band(A): 1-qp band based on the (3/2<sup>+</sup>) g.s.,  $\alpha=-1/2$ . configuration= $\pi 3/2[411]$  ( $d_{5/2}$ ). Q(intrinsic)=5.4 eb 6 (1996Ga17) and 4.1 eb 2 (2001Ri20).<sup>@</sup> Band(B): 1-qp band based on the (5/2<sup>+</sup>) state at 84.5-keV,  $\alpha=+1/2$ . configuration= $\pi 3/2[411]$  ( $d_{5/2}$ ). Q(intrinsic)=5.4 eb 6 (1996Ga17) and 4.1 eb 2 (2001Ri20).<sup>&</sup> Band(C): 1-qp band based on the (11/2<sup>-</sup>) state 129.7-keV,  $\alpha=-1/2$ . configuration= $\pi 3/2[541]$  ( $h_{11/2}$ ), strongly Coriolis mixed. Q(intrinsic)=5.2 eb 5 (1996Ga17) and 4.0 eb 2 (2001Ri20).<sup>a</sup> Band(D): 1-qp band based on the (9/2<sup>-</sup>) state 147.9-keV,  $\alpha=+1/2$ . configuration= $\pi 3/2[541]$  ( $h_{11/2}$ ), strongly Coriolis mixed. Q(intrinsic)=5.2 eb 5 (1996Ga17) and 4.0 eb 2 (2001Ri20).<sup>b</sup> Band(E): 1-qp band based on the (11/2<sup>+</sup>) state at 810.1-keV,  $\alpha=-1/2$ . configuration= $\pi 9/2[404]$  ( $g_{9/2}$ ). Q(intrinsic)=7.4 eb 10 (1996Ga17) and 5.0 eb 4 (2001Ri20,2002La09).<sup>c</sup> Band(F): 1-qp band based on the (9/2<sup>+</sup>) state at 653.4-keV,  $\alpha=+1/2$ . configuration= $\pi 9/2[404]$  ( $g_{9/2}$ ). Q(intrinsic)=7.4 eb 10 (1996Ga17) and 5.0 eb 4 (2001Ri20,2002La09).<sup>d</sup> Band(G): 1-qp band based on the (15/2<sup>-</sup>) state at 815.9-keV,  $\alpha=+1/2$ . Probable configuration= $h_{11/2}$ , strongly Coriolis mixed band. **$\gamma(^{133}\text{Pm})$** 

E $\gamma$ <sup>†</sup>	I $\gamma$ <sup>‡</sup>	E $_i$ (level)	J $^\pi_i$	E $_f$	J $^\pi_f$	Mult. <sup>#</sup>	$\delta$ <sup>@</sup>	Comments
84.44 27	$\approx 2$	84.48	5/2 <sup>+</sup>	0.0	3/2 <sup>+</sup>			
129.52 19	14.6 15	214.2	7/2 <sup>+</sup>	84.48	5/2 <sup>+</sup>	M1+E2	0.150 16	R(DCO)= 1.45 5, 1.00 4.
156.35 21	5.4 3	810.1	11/2 <sup>+</sup>	653.4	9/2 <sup>+</sup>	M1+E2	0.23 3	R(DCO)= 1.21 12.
167.0 3	13.0 6	381.9	9/2 <sup>+</sup>	214.2	7/2 <sup>+</sup>	M1+E2	0.178 16	R(DCO)= 1.49 7, 1.07 4.
180.45 25	6.0 3	991.2	13/2 <sup>+</sup>	810.1	11/2 <sup>+</sup>	M1+E2	0.25 3	R(DCO)= 1.28 12.
189.35 23	11.2 6	571.6	11/2 <sup>+</sup>	381.9	9/2 <sup>+</sup>	M1+E2	0.195 24	R(DCO)= 1.43 11, 1.09 6.
205.0 3	6.8 3	1196.6	15/2 <sup>+</sup>	991.2	13/2 <sup>+</sup>	M1+E2	0.23 3	R(DCO)= 1.21 12.
214.0 5	5.8 6	214.2	7/2 <sup>+</sup>	0.0	3/2 <sup>+</sup>			
222.4 4	6.9 3	1025.3	15/2 <sup>+</sup>	802.5	13/2 <sup>+</sup>	M1+E2	0.15 3	R(DCO)= 1.35 9, 1.00 8.
228.55 25	5.3 3	1425.4	17/2 <sup>+</sup>	1196.6	15/2 <sup>+</sup>	M1+E2	0.24 3	R(DCO)= 1.25 12.
230.80 21	8.9 5	802.5	13/2 <sup>+</sup>	571.6	11/2 <sup>+</sup>	M1+E2	0.18 3	R(DCO)= 1.46 9, 1.06 8.
239.5 7	4.9 3	1534.8	19/2 <sup>+</sup>	1294.9	17/2 <sup>+</sup>	M1+E2	0.12 4	R(DCO)= 1.38 10, 0.92 10.
250.8 <sup>&amp; 3</sup>	3.6 2	2081.4	23/2 <sup>+</sup>	1830.6	21/2 <sup>+</sup>			
251.82 27	4.5 3	1677.4	19/2 <sup>+</sup>	1425.4	17/2 <sup>+</sup>			
252.45 23	140 3	382.1	15/2 <sup>-</sup>	129.7	11/2 <sup>-</sup>	E2		R(DCO)= 2.02 4.

Continued on next page (footnotes at end of table)

**$^{96}\text{Ru}({}^{40}\text{Ca},3\text{p}\gamma)$  1996Ga17 (continued)** **$\gamma(^{133}\text{Pm})$  (continued)**

$E_\gamma^\dagger$	$I_\gamma^\ddagger$	$E_i(\text{level})$	$J_i^\pi$	$E_f$	$J_f^\pi$	Mult. <sup>#</sup>	$\delta @$	Comments
262.55 23	25 1	410.4	13/2 <sup>-</sup>	147.9	9/2 <sup>-</sup>	E2		R(DCO)= 1.92 15.
269.45 21	6.8 4	1294.9	17/2 <sup>+</sup>	1025.3	15/2 <sup>+</sup>	M1+E2	0.12 4	R(DCO)= 1.38 10, 0.93 10.
271.6 & 10	0.9 1	653.4	9/2 <sup>+</sup>	381.9	9/2 <sup>+</sup>			
274.46 24	4.0 3	1952.1	21/2 <sup>+</sup>	1677.4	19/2 <sup>+</sup>	M1+E2	0.23 5	R(DCO)= 1.23 15.
277.4 & 3	2.3 2	2674.4	27/2 <sup>+</sup>	2397.1	25/2 <sup>+</sup>			
280.75 23	23 1	410.4	13/2 <sup>-</sup>	129.7	11/2 <sup>-</sup>			R(DCO)= 2.49 8.
281.6 & 2	3.3 3	653.4	9/2 <sup>+</sup>	371.9	(7/2 <sup>+</sup> )			R(DCO)= 1.3 4.
287.4 & 2	2.1 1	371.9	(7/2 <sup>+</sup> )	84.48	5/2 <sup>+</sup>			R(DCO)= 1.22 15.
295.60 27	5.6 3	1830.6	21/2 <sup>+</sup>	1534.8	19/2 <sup>+</sup>	M1+E2	0.13 6	R(DCO)= 1.35 12.
296.99 24	3.0 4	2249.1	23/2 <sup>+</sup>	1952.1	21/2 <sup>+</sup>			
297.72 24	17 8	381.9	9/2 <sup>+</sup>	84.48	5/2 <sup>+</sup>	E2		R(DCO)= 1.93 13.
309.5 & 3	2.2 3	3114.9	(31/2) <sup>-</sup>	2805.4	31/2 <sup>-</sup>			
315.8 & 3	4.7 4	2397.1	25/2 <sup>+</sup>	2081.4	23/2 <sup>+</sup>			
317.3 & 5	2.4 3	2991.6	29/2 <sup>+</sup>	2674.4	27/2 <sup>+</sup>			
318.53 26	2.2 5	2567.6	25/2 <sup>+</sup>	2249.1	23/2 <sup>+</sup>			
329.9 & 3	2.1 3	2388.9	(27/2) <sup>-</sup>	2058.9	27/2 <sup>-</sup>			
338.39 29	1.51 15	991.2	13/2 <sup>+</sup>	653.4	9/2 <sup>+</sup>			
341.66 28	1.9 4	2909.3	27/2 <sup>+</sup>	2567.6	25/2 <sup>+</sup>			
357.42 19	21.3 9	571.6	11/2 <sup>+</sup>	214.2	7/2 <sup>+</sup>	E2		R(DCO)= 1.99 9.
362.58 19	1.4 3	3271.9	29/2 <sup>+</sup>	2909.3	27/2 <sup>+</sup>			
372.6 & 7	1.2 6	371.9	(7/2 <sup>+</sup> )	0.0	3/2 <sup>+</sup>			
374.9 & 3	3.8 3	1758.4	(23/2) <sup>-</sup>	1383.4	23/2 <sup>-</sup>			R(DCO)= 2.10 15.
383.0 6	1.6 4	3655.3	31/2 <sup>+</sup>	3271.9	29/2 <sup>+</sup>			
386.7 3	2.27 20	1196.6	15/2 <sup>+</sup>	810.1	11/2 <sup>+</sup>			
404 & 1	1.0 4	4059.5	33/2 <sup>+</sup>	3655.3	31/2 <sup>+</sup>			
405.1 & 4	3.0 3	815.9	15/2 <sup>-</sup>	410.4	13/2 <sup>-</sup>			
406.6 & 3	5.4 4	1226.9	(19/2) <sup>-</sup>	820.3	17/2 <sup>-</sup>			R(DCO)= 1.9 2.
409.96 17	36 2	820.3	17/2 <sup>-</sup>	410.4	13/2 <sup>-</sup>			R(DCO)= 2.08 17.
411.0 & 3	5.6 5	1226.9	(19/2) <sup>-</sup>	815.9	15/2 <sup>-</sup>			
415.0 & 3	5.9 6	1226.9	(19/2) <sup>-</sup>	812.0	19/2 <sup>-</sup>			R(DCO)= 1.95 25.
420.73 16	27.2 12	802.5	13/2 <sup>+</sup>	381.9	9/2 <sup>+</sup>	E2		R(DCO)= 1.98 15.
424.1 & 3	4.3 3	1758.4	(23/2) <sup>-</sup>	1334.2	21/2 <sup>-</sup>			R(DCO)= 1.8 3.
429.86 17	137 6	812.0	19/2 <sup>-</sup>	382.1	15/2 <sup>-</sup>	E2		R(DCO)= 1.99 5.
433.9 & 3	5.4 7	815.9	15/2 <sup>-</sup>	382.1	15/2 <sup>-</sup>			R(DCO)= 2.05 15.
434.4 3	3.45 25	1425.4	17/2 <sup>+</sup>	991.2	13/2 <sup>+</sup>			
438.09 17	13 1	820.3	17/2 <sup>-</sup>	382.1	15/2 <sup>-</sup>			R(DCO)= 2.36 10.
439.1 & 2	3.7 3	653.4	9/2 <sup>+</sup>	214.2	7/2 <sup>+</sup>			R(DCO)= 1.27 25.
453.73 17	29 1	1025.3	15/2 <sup>+</sup>	571.6	11/2 <sup>+</sup>	E2		R(DCO)= 1.98 10.
461.1 & 2	3.8 4	2388.9	(27/2) <sup>-</sup>	1927.9	25/2 <sup>-</sup>			
480.96 19	3.84 25	1677.4	19/2 <sup>+</sup>	1196.6	15/2 <sup>+</sup>			
492.45 21	29.2 15	1294.9	17/2 <sup>+</sup>	802.5	13/2 <sup>+</sup>	E2		R(DCO)= 2.01 10.
509.49 17	36.7 15	1534.8	19/2 <sup>+</sup>	1025.3	15/2 <sup>+</sup>	E2		R(DCO)= 1.92 15.
514.4 5	41 3	1334.2	21/2 <sup>-</sup>	820.3	17/2 <sup>-</sup>	E2		R(DCO)= 1.93 15.
516.6 & 3	1.6 3	3114.9	(31/2) <sup>-</sup>	2598.5	29/2 <sup>-</sup>			
522.20 24	9.5 6	1334.2	21/2 <sup>-</sup>	812.0	19/2 <sup>-</sup>			R(DCO)= 2.38 15.
526.74 26	4.35 30	1952.1	21/2 <sup>+</sup>	1425.4	17/2 <sup>+</sup>			
531.4 & 3	14.9 7	1758.4	(23/2) <sup>-</sup>	1226.9	(19/2) <sup>-</sup>			
535.80 21	29.4 15	1830.6	21/2 <sup>+</sup>	1294.9	17/2 <sup>+</sup>			
539.7 & 3	5 1	2598.5	29/2 <sup>-</sup>	2058.9	27/2 <sup>-</sup>			R(DCO)= 1.9 2. This value does not suggest the transition placement (1996Ga17) between levels with 29/2 <sup>-</sup> and 27/2 <sup>-</sup> .

Continued on next page (footnotes at end of table)

**$^{96}\text{Ru}(^{40}\text{Ca},3\text{p}\gamma)$  1996Ga17 (continued)** **$\gamma(^{133}\text{Pm})$  (continued)**

$E_\gamma^\dagger$	$I_\gamma^\ddagger$	$E_i(\text{level})$	$J_i^\pi$	$E_f$	$J_f^\pi$	Mult. <sup>#</sup>	Comments
544.6 <sup>&amp;</sup> 3	7.8 6	1927.9	25/2 <sup>-</sup>	1383.4	23/2 <sup>-</sup>		R(DCO)= 1.7 2. This value does not suggest the transition placement (1996Ga17) between levels with 25/2 <sup>-</sup> and 23/2 <sup>-</sup> .
546.63 17	37.7 15	2081.4	23/2 <sup>+</sup>	1534.8	19/2 <sup>+</sup>		
566.4 4	26.7 15	2397.1	25/2 <sup>+</sup>	1830.6	21/2 <sup>+</sup>		
571.33 16	104 5	1383.4	23/2 <sup>-</sup>	812.0	19/2 <sup>-</sup>	E2	R(DCO)= 2.01 10.
571.9 4	4.0 3	2249.1	23/2 <sup>+</sup>	1677.4	19/2 <sup>+</sup>		
592.95 21	31.6 20	2674.4	27/2 <sup>+</sup>	2081.4	23/2 <sup>+</sup>		
593.80 21	34 3	1927.9	25/2 <sup>-</sup>	1334.2	21/2 <sup>-</sup>	E2	R(DCO)= 2.09 20.
594.46 24	22 2	2991.6	29/2 <sup>+</sup>	2397.1	25/2 <sup>+</sup>		
615.46 19	4.0 3	2567.6	25/2 <sup>+</sup>	1952.1	21/2 <sup>+</sup>		
630.3 <sup>&amp;</sup> 3	19.2 9	2388.9	(27/2) <sup>-</sup>	1758.4	(23/2) <sup>-</sup>		
643 <sup>&amp;</sup> 1	4.3 4	1025.3	15/2 <sup>+</sup>	382.1	15/2 <sup>-</sup>	E1 <sup>b</sup>	R(DCO)= 1.9 2.
660.2 5	3.5 4	2909.3	27/2 <sup>+</sup>	2249.1	23/2 <sup>+</sup>		
663.68 18	22 1	3338.1	31/2 <sup>+</sup>	2674.4	27/2 <sup>+</sup>		
670.69 24	25 3	2598.5	29/2 <sup>-</sup>	1927.9	25/2 <sup>-</sup>		
675.47 17	66 3	2058.9	27/2 <sup>-</sup>	1383.4	23/2 <sup>-</sup>		
680.18 18	13.5 7	3671.8	33/2 <sup>+</sup>	2991.6	29/2 <sup>+</sup>		
698 <sup>&amp;</sup> 1	3.7 4	2081.4	23/2 <sup>+</sup>	1383.4	23/2 <sup>-</sup>	E1 <sup>b</sup>	R(DCO)= 1.8 2.
704.4 4	4.2 4	3271.9	29/2 <sup>+</sup>	2567.6	25/2 <sup>+</sup>		
723 <sup>&amp;</sup> 1	5.3 4	1534.8	19/2 <sup>+</sup>	812.0	19/2 <sup>-</sup>	E1 <sup>b</sup>	R(DCO)= 1.7 2.
725.9 <sup>&amp;</sup> 3	16.2 16	3114.9	(31/2) <sup>-</sup>	2388.9	(27/2) <sup>-</sup>		
746.13 20	3.7 6	3655.3	31/2 <sup>+</sup>	2909.3	27/2 <sup>+</sup>		
746.50 21	39 3	2805.4	31/2 <sup>-</sup>	2058.9	27/2 <sup>-</sup>		
749.95 23	23 2	3348.5	33/2 <sup>-</sup>	2598.5	29/2 <sup>-</sup>		
751.07 24	19 2	4089.2	35/2 <sup>+</sup>	3338.1	31/2 <sup>+</sup>		
785.9 4	12 1	4457.7	37/2 <sup>+</sup>	3671.8	33/2 <sup>+</sup>		
787.67 25	3.0 6	4059.5	33/2 <sup>+</sup>	3271.9	29/2 <sup>+</sup>		
796 <sup>&amp;</sup> 1	8 3	3911.0	(35/2) <sup>-</sup>	3114.9	(31/2) <sup>-</sup>		
803.65 21	26 2	3609.1	35/2 <sup>-</sup>	2805.4	31/2 <sup>-</sup>		
824.7 <sup>&amp;</sup> 3	3.0 6	4480.0	35/2 <sup>+</sup>	3655.3	31/2 <sup>+</sup>		$E_\gamma$ : in the level scheme of 1991Re03 $E\gamma=811.3$ 15.
832.30 24	16 2	4180.8	37/2 <sup>-</sup>	3348.5	33/2 <sup>-</sup>		
838.4 5	15 2	4927.6	39/2 <sup>+</sup>	4089.2	35/2 <sup>+</sup>		
862 <sup>&amp;</sup> 1	≈4	4773.0	(39/2) <sup>-</sup>	3911.0	(35/2) <sup>-</sup>		
865.70 21	21 2	4474.8	39/2 <sup>-</sup>	3609.1	35/2 <sup>-</sup>		
866.7 <sup>&amp;</sup> 3	3.5 7	4926.2	37/2 <sup>+</sup>	4059.5	33/2 <sup>+</sup>		$E_\gamma$ : in the level scheme of 1991Re03 $E\gamma=825.5$ 15.
879.7 6	8.9 18	5337.4	41/2 <sup>+</sup>	4457.7	37/2 <sup>+</sup>		
910.7 <sup>&amp;</sup> 1	2.0 5	5390.0	39/2 <sup>+</sup>	4480.0	35/2 <sup>+</sup>		$E_\gamma$ : in the level scheme of 1991Re03 $E\gamma=868.5$ 15.
910.7 4	10 2	5838.3	43/2 <sup>+</sup>	4927.6	39/2 <sup>+</sup>		
916.0 6	12 2	5096.8	41/2 <sup>-</sup>	4180.8	37/2 <sup>-</sup>		
934.30 21	10 1	5409.1	43/2 <sup>-</sup>	4474.8	39/2 <sup>-</sup>		
946 <sup>&amp;</sup> 1	2.2 5	5872.3	41/2 <sup>+</sup>	4926.2	37/2 <sup>+</sup>		
953.3 6	5.7 15	6290.7	45/2 <sup>+</sup>	5337.4	41/2 <sup>+</sup>		
958.5 5	9 3	6796.8	47/2 <sup>+</sup>	5838.3	43/2 <sup>+</sup>		
972.0 <sup>a</sup> 6	10 <sup>a</sup> 2	7768.8	51/2 <sup>+</sup>	6796.8	47/2 <sup>+</sup>		
987.9 <sup>a</sup> 8	7.3 <sup>a</sup> 20	7278.6	49/2 <sup>+</sup>	6290.7	45/2 <sup>+</sup>		
998.5 <sup>a</sup> 7	8 <sup>a</sup> 2	8767.3	55/2 <sup>+</sup>	7768.8	51/2 <sup>+</sup>		
1003 <sup>&amp;</sup> 1	8 2	6099.8	45/2 <sup>-</sup>	5096.8	41/2 <sup>-</sup>		$E_\gamma$ : in the level scheme of 1991Re03 $E\gamma=988.4$ 7.
1004.9 7	9 1	6414.0	47/2 <sup>-</sup>	5409.1	43/2 <sup>-</sup>		
1011.9 <sup>a</sup> 10	5.3 <sup>a</sup> 20	8290.5	53/2 <sup>+</sup>	7278.6	49/2 <sup>+</sup>		
1037.5 <sup>a</sup> 12	5.3 <sup>a</sup> 20	7137.3	49/2 <sup>-</sup>	6099.8	45/2 <sup>-</sup>		
1071.0 <sup>a</sup> 15	4 <sup>a</sup> 2	9361.5	57/2 <sup>+</sup>	8290.5	53/2 <sup>+</sup>		

Continued on next page (footnotes at end of table)

**$^{96}\text{Ru}({}^{40}\text{Ca},3\text{p}\gamma)$     1996Ga17 (continued)** $\gamma(^{133}\text{Pm})$  (continued)

$E_\gamma^\dagger$	$I_\gamma^\ddagger$	$E_i(\text{level})$	$J_i^\pi$	$E_f$	$J_f^\pi$
1078.1 7	5 1	7492.1	51/2 <sup>-</sup>	6414.0	47/2 <sup>-</sup>
1154.5 14	3.7 6	8646.6	55/2 <sup>-</sup>	7492.1	51/2 <sup>-</sup>
1231.1 <sup>a</sup> 15	2.7 <sup>a</sup> 20	9877.7	59/2 <sup>-</sup>	8646.6	55/2 <sup>-</sup>

<sup>†</sup> Weighted averages of values from [1996Ga17](#) and [1991Re03](#), except as noted; when  $\Delta E\gamma$  is not shown in Table 1 of [1996Ga17](#), evaluators assigned  $\Delta E\gamma=0.3$  keV.

<sup>‡</sup> From [1996Ga17](#), except as noted.

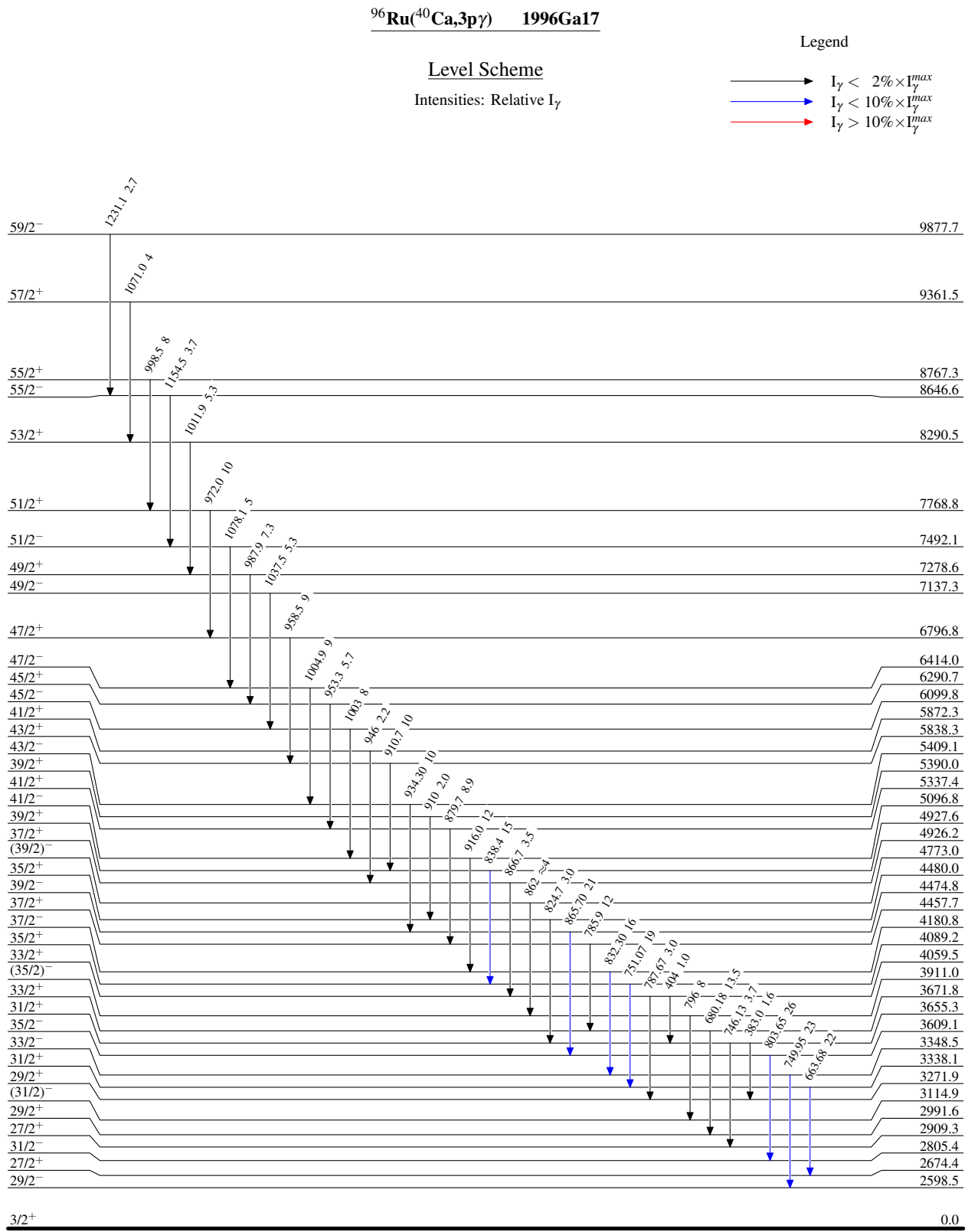
<sup>#</sup> From DCO values.  $R(\text{DCO})=I_{\gamma\gamma}(\pm 37^\circ, \pm 37^\circ)/I_{\gamma\gamma}(\pm 79', \pm 79')$ . For stretched E2 (Q) transitions DCO ratios are 1.99; for M1+E2,  $\Delta J=1$  transition DCO $\approx 1.0$  ([1996Ga17](#)).

<sup>@</sup> From  $\gamma\gamma(\theta)$  ([1996Ga17](#)).

<sup>&</sup> From [1996Ga17](#).

<sup>a</sup> From [1991Re03](#);  $I_\gamma$ 's were fit to [1996Ga17](#) values (divided by 1.5). About 20% of  $I_\gamma$  values of [1991Re03](#) have a discrepancy in 2 / 3 times as against  $I_\gamma$  of [1996Ga17](#).

<sup>b</sup> The transition, measured in [1996Ga17](#) and linking the band C and the band E, must change parity, since the parities of these bands are established in [1991Re03](#). One may assume that any M2 mixing would be extremely weak, since this transition competes with collective E2 transition in the band C. Therefore, the DCO value are compatible with  $\Delta J=0$  for these transition but not with  $\Delta J=1$ .



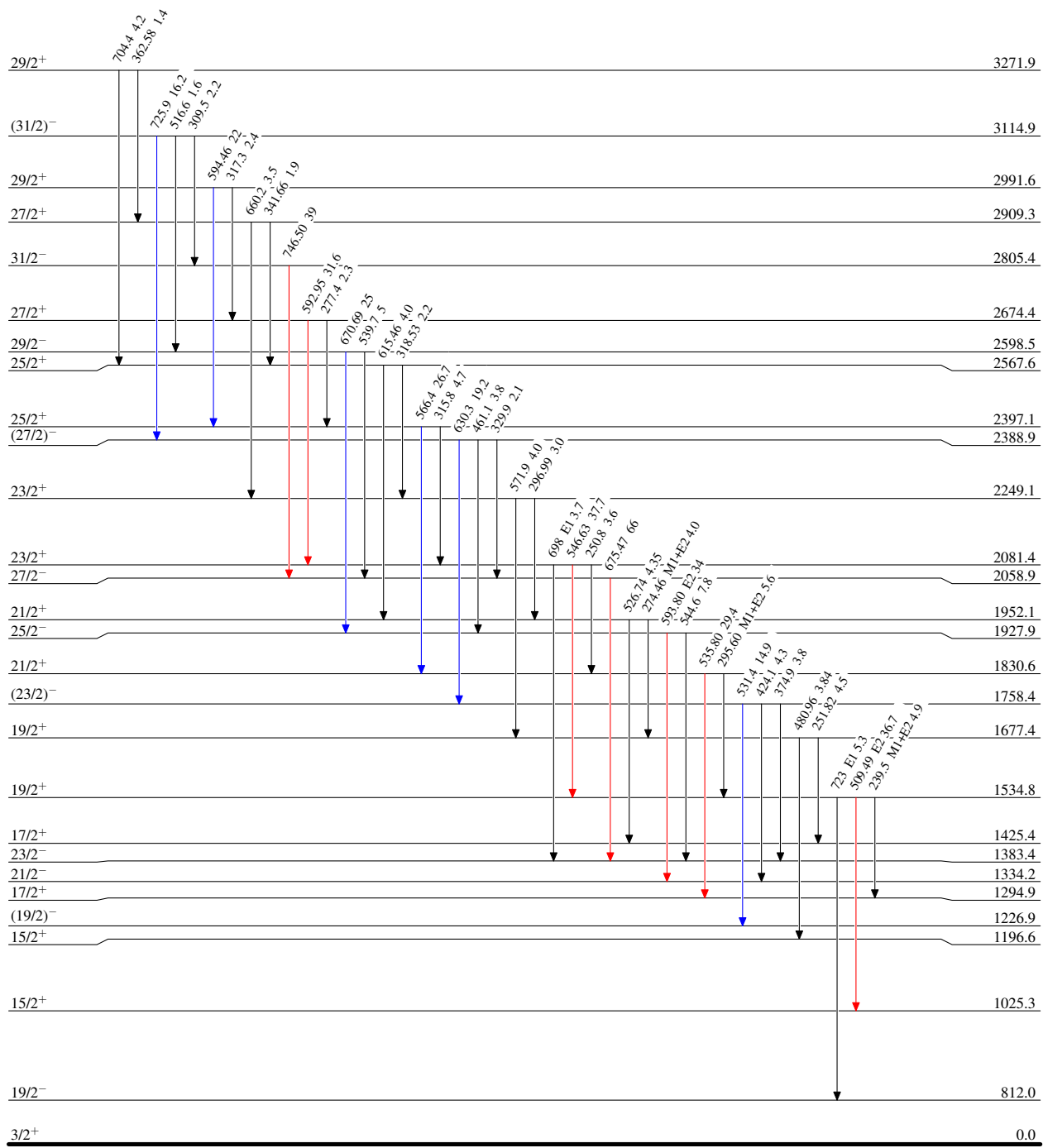
$^{96}\text{Ru}({}^{40}\text{Ca}, 3\text{p}\gamma)$  1996Ga17

## Legend

## Level Scheme (continued)

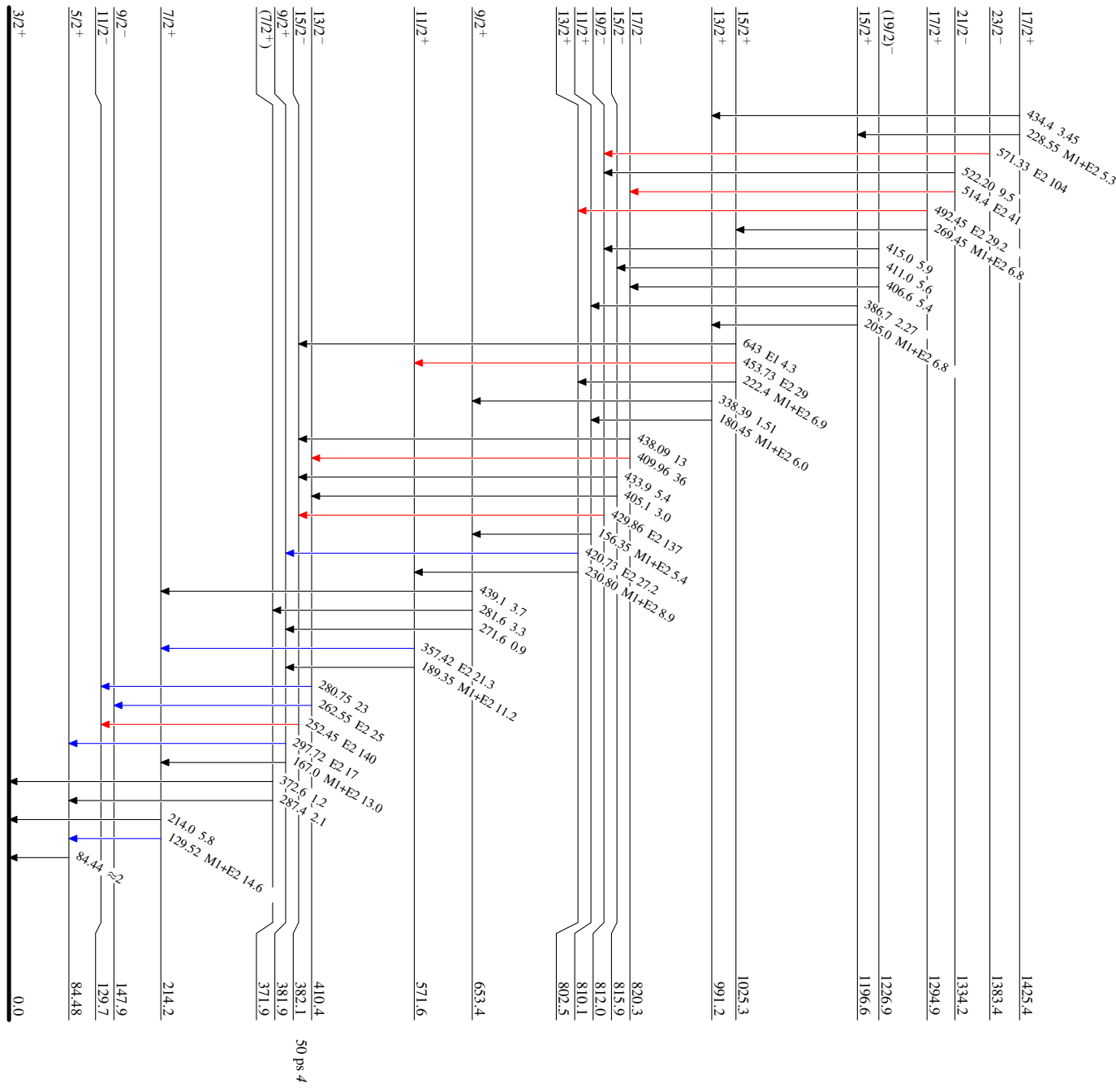
Intensities: Relative  $I_\gamma$ 

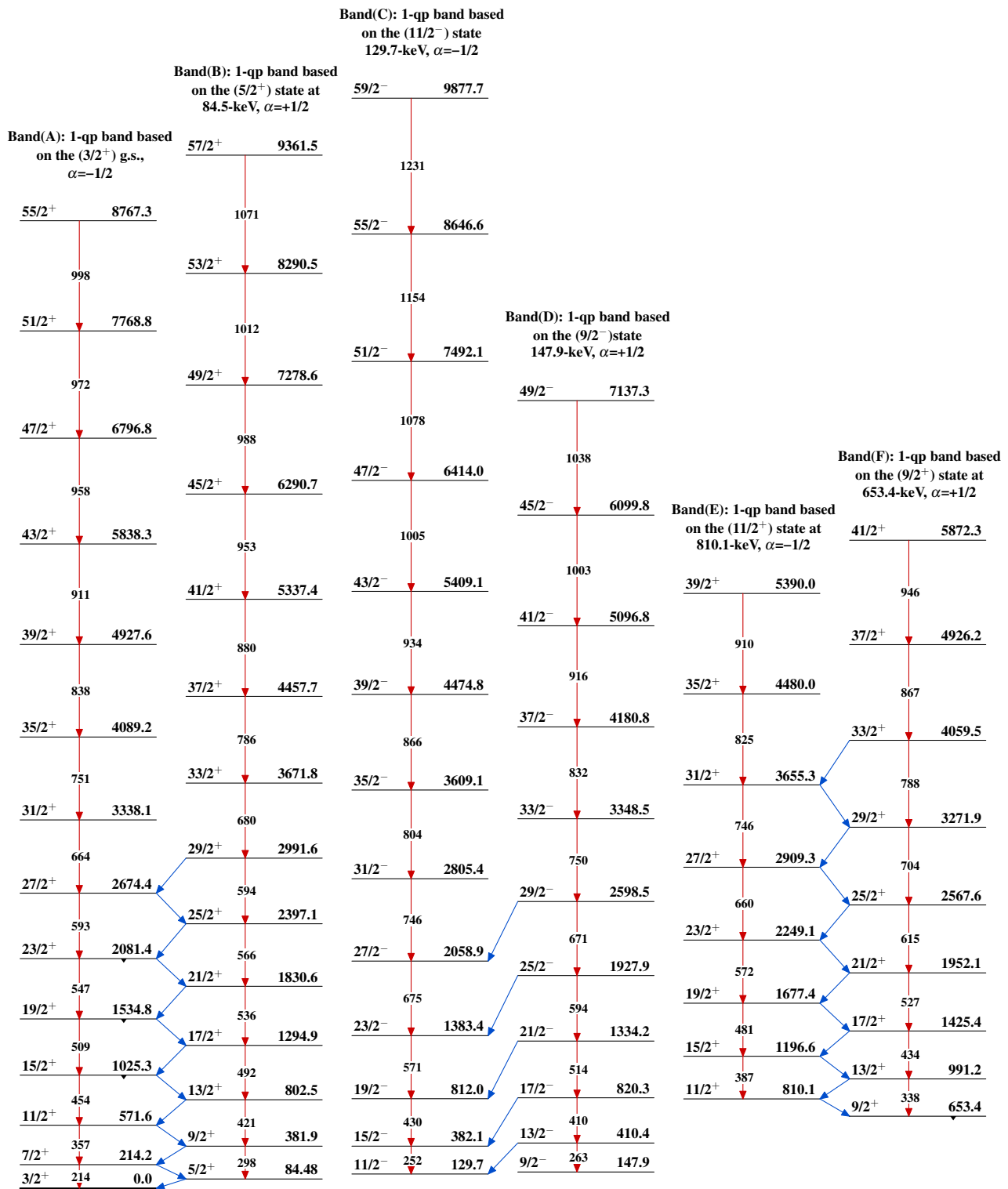
- $\longrightarrow$   $I_\gamma < 2\% \times I_\gamma^{\max}$
- $\xrightarrow{\quad}$   $I_\gamma < 10\% \times I_\gamma^{\max}$
- $\xrightarrow{\quad}$   $I_\gamma > 10\% \times I_\gamma^{\max}$



$^{96}\text{Ru}(\text{Ca},3\text{p}\gamma)$      $^{199}\text{Gd}17$ 
Level Scheme (continued)Intensities: Relative  $I_\gamma$ 

	Legend
$I_\gamma < 2\%$ $\times I_{\gamma}^{\max}$	—
$I_\gamma < 10\%$ $\times I_{\gamma}^{\max}$	↓
$I_\gamma > 10\%$ $\times I_{\gamma}^{\max}$	→



$^{96}\text{Ru}({}^{40}\text{Ca}, 3\text{p}\gamma)$  1996Ga17

**$^{96}\text{Ru}({}^{40}\text{Ca},3\text{p}\gamma)$  1996Ga17 (continued)**

Band(G): 1-qp band based  
on the  $(15/2^-)$  state at  
815.9-keV,  $\alpha=+1/2$

